

Рисунок 7 – Зависимость показателя преломления покрытия SiO₂ от длины волны

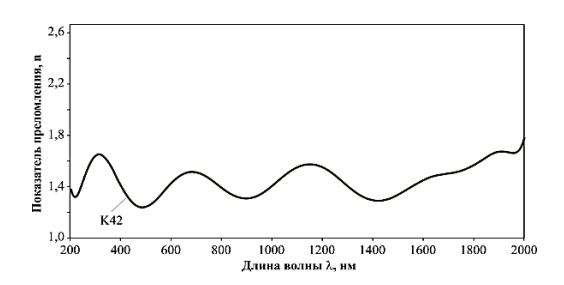


Рисунок 8 – Зависимость показателя преломления покрытия К42 от длины волны

В таблице 1 представлены табличные и измеренные значения показателя преломления и толщины покрытий. Значения расчётной толщины получены по программе для расчёта покрытий МультиСпектр ООО «ЭссентОптикс», которая шла в комплекте с СОК Iris.

Таблица 1 – Табличные и измеренные значения показателя преломления и толщины покрытий

Тип	Табличный показатель	Расчётная	Измеренное значение	Измеренная
покрытия	преломления	толщина	показателя преломления	толщина
	на длине волны 550 нм	покрытия, нм	на длине волны 550 нм	покрытия, нм
K42	_	_	1,38	1 544,0
SiO ₂	1,46	298,2	1,50	319,7
TiO ₂	2,04	214,2	1,92	270,7
ZnS	2,38	183,1	2,06	259,3

Литература

1 Матвеев, А. Н. Оптика : учебное пособие / А. Н. Матвеев. — М. : Высшая школа, 1985.-351 с.

2 Яковлев, П. П. Проектирование интерференционных покрытий : библиотека приборостроения / П. П. Яковлев, Б. Б. Мешков. – 1 серия. – М. : Машиностроение, 1987. – 185 с.

УДК 539.12

Д. В. Синегрибов

КОСВЕННЫЕ ЭФФЕКТЫ Z'– БОЗОНА И РАСШИРЕНИЯ СТАНДАРТНОЙ МОДЕЛИ НА ОСНОВЕ $U(1)_{\scriptscriptstyle X}$ СИММЕТРИИ

Статья посвящена методике модельно-независимого и модельно-зависимого анализа косвенного проявления дополнительного Z' – бозона на e^+e^- коллайдере

следующего поколения. Предполагается, что масса Z'— бозона значительно больше максимальной энергии коллайдера. На основе косвенного анализа получены нижние границы на массу Z'— бозона для максимальной энергии Международного линейного коллайдера. Выполнено сравнение ограничений для неполяризованного и поляризованного случая.

Связывая нейтринные массы, темную материю и возникновение барионной асимметрии Вселенной, расширение Стандартной Модели (СМ) на основе $U(1)_X$ является универсальной платформой для исследования физики за пределами СМ [1, 2]. Полная калибровочная группа модели $U(1)_X$ записывается в виде:

$$SU(3)_C \times SU(2)_L \times U(1)_Y \times U(1)_X, \tag{1}$$

Масса дополнительного Z '— бозона генерируется после нарушения дополнительной калибровочной симметрии $U(1)_X$ при помощи скалярного поля Φ , которое определяется зарядами $U(1)_X$. Хиггсовскими дублетами Н обеспечивается нарушение электрослабой симметрии, порождая калибровочные бозоны и фермионы СМ. Заряды $U(1)_X$ определяются свободными параметрами модели x_H и x_Φ . Параметризацией $U(1)_X$ определяются особенности взаимодействия между Z '— бозонами и фермионами СМ. В настоящей работе рассматриваются сценарии взаимодействия, представленные в таблице 1 [3].

Таблица 1 — Специфика взаимодействия Z' — бозона с фермионами СМ ($x_{\Phi} = 1$)

$x_{\rm H}$	Специфика взаимодействия	
-2	Отсутствие связи между Z' – бозонами и левыми фермионами	
-1	Отсутствие связи между Z' – бозонами и правыми электронами	
1	Отсутствие связи между Z' – бозонами и правыми d -кварками	
2	Наличие связи между Z' – бозонами и всеми фермионами	

Цель исследования — оценить возможность улучшения нижней границы массы Z'— бозона на основе разработанной методики для e^+e^- коллайдера следующего поколения и особенностей, которые представлены в Таблице 1. В настоящей работе не учитывается Z-Z' массовое смешивание и взаимодействия с другими экзотическими частицами за пределами СМ. Также предполагается, что масса Z'— бозона значительно больше максимальной энергии коллайдера. Важно отметить, что задача установления ограничений на характеристики Z'— бозона содержится в программе исследований Международного линейного коллайдера (ILC), ключевыми преимуществами которого относительно Большого адронного коллайдера (LHC) является чистота e^+e^- столкновений и возможность поляризовать сталкивающиеся электроны и позитроны [4]. Важной особенностью методики является учет ширины, которая обычно пренебрегается.

Описание методики. Ключевая роль отводится представлению дифференциального сечения рассеяния в приближении Борна для процесса $e^+e^- \to \overline{f} f$ которое приведено и детально рассмотрено в работе [5]. Рассматриваются исключительно s- канальные диаграммы и все фермионы предполагаются безмассовыми. Отклонения от предсказаний СМ описываются как интерференционные эффекты Z '— бозона. В качестве наблюдаемой характеристики процесса используется отклонение бинированного число событий, которое определяется:

$$\Delta N_i(\Delta Q_i) = N_i^{SM+Z'} - N_i^{SM} = L_{Eff}(\sigma_i^{SM+Z'} - \sigma_i^{SM}). \tag{2}$$

В уравнении (2) безразмерными и линейными параметрами $\Delta Q_i = Q_i^{SM+Z'} - Q_i^{SM}$ определяется величина отклонения. Важно отметить, что обычно напрямую ограничиваются характеристики Z'- бозона, которые являются нелинейными. При нелинейной зависимости интерпретировать доверительные области значительно сложнее. Доверительные области на линейные параметры накладываются более явно, и зачастую результаты анализа предсказуемы. При определении эффективной светимости L_{Eff} важно учитывать то, что время работы коллайдера распределено неравномерно относительно поляризации (таблица 2).

Таблица 2 – Доля общего времени работы ILC, относительно комбинаций ориентации поляризации для энергетической стадии 1 ТэВ [4]

Степень поляризации $\{P_{e^{+}}, P_{e^{-}}\}$	{-20 %, -80 %} и {20 %, 80 %}	{20 %, -80 %} и {-20 %,80 %}
Доля от времени работы при отсутствии поляризации	10 %	40 %

При анализе отклонений выдвигается предположение, согласно которому все экспериментальные данные согласуются СМ в пределе одного стандартного отклонения. Разрешенные области (рисунок 1) получены на основе традиционного критерия χ^2 относительно отклонений ΔQ_1 и ΔQ_2 . Важно учитывать различия вероятностного охвата между многомерными и одномерными распределениями. Представленные области (совместная оценка) получены для уровня достоверности 39,35 %, что эквивалентно однопараметрическому интервалу 68,27 % (1 σ) для каждого параметра в отдельности. Все необходимые параметры эксперимента подробно описаны и представлены в работе [4].

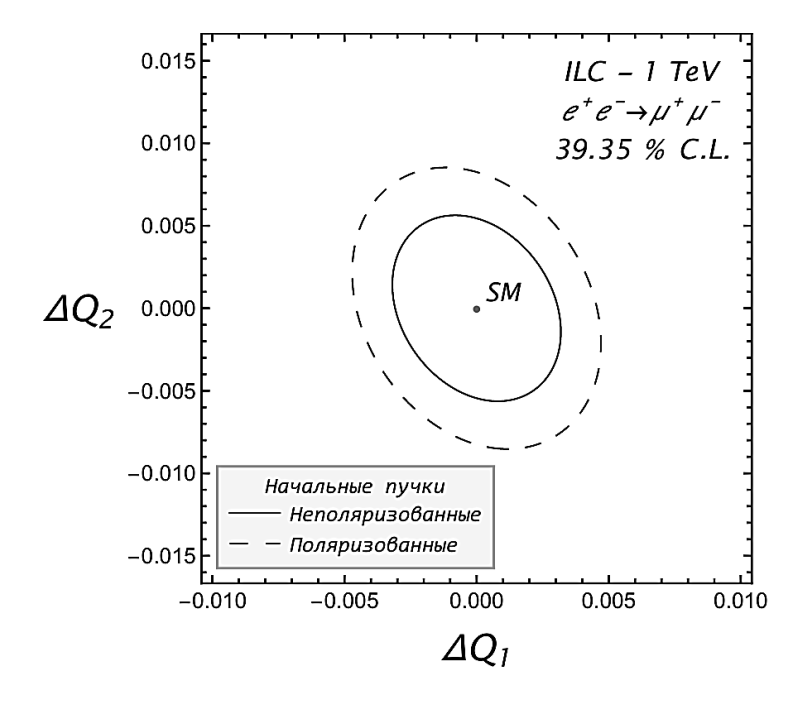


Рисунок 1 — Модельно-независимые разрешенные области отклонений ΔQ_1 и ΔQ_2 от предсказаний СМ

Моделями Z'— бозона (Таблица 1) определяются фермионные константы связи. Ширина распада $Z' \to \overline{f} f$ рассчитывается аналогично стандартному Z — бозону. Используя критерий χ^2 относительно $M_{Z'}$, можно получить значение нижней границы, выше которой эффекты Z'— бозона статистически неразличимы от предсказаний СМ (таблица 3).

Таблица 3 — Нижние границы на массу Z '— бозона для различных расширений $U(1)_X$ на уровне 1σ на ILC — 1 ТэВ с поляризованными и неполяризованными пучками

$x_{\rm H}$	$P_{e^{+}} = P_{e^{-}} = 0$	$P_{e^{+}} = 20 \%, \ P_{e^{-}} = -80 \%$
-2	21,075	13,890
-1	8,544	5,252
1	16,792	12,205
2	29,365	20,870

Можно заметить, что нижние границы значительно выше для неполяризованного случая по причине лучшей статистики событий. Модельно-независимые области (рисунок 1) полезны для проверки моделей Z'— бозона. На основе проведенного модельно-зависимого анализа несложно рассчитать параметры отклонений ΔQ_1 и ΔQ_2 для исследуемого ряда моделей Z'— бозона. Как следует из рисунка 2, результаты модельно-независимого и модельно-зависимого анализа согласуются.

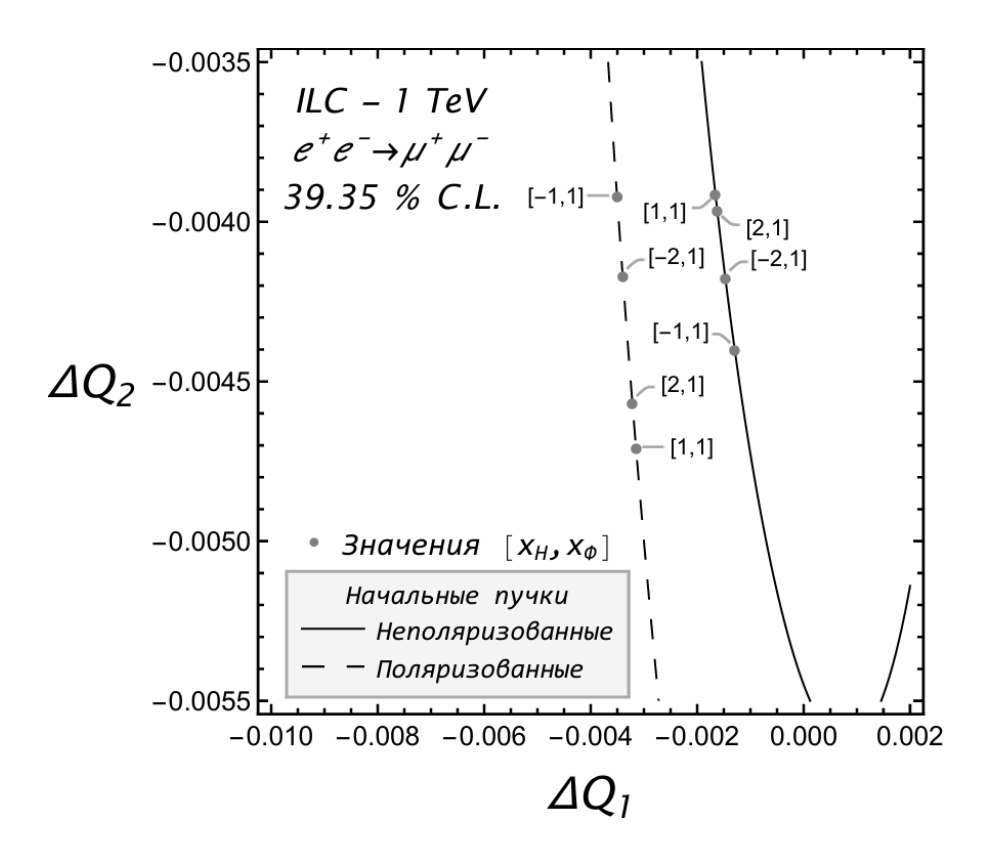


Рисунок 2 — Согласие модельно-независимого (рисунок 1) и модельно-зависимого анализа (таблица 3)

Получены нижние границы на массу дополнительного Z' – бозона на ILC – 1 ТэВ для расширений $U(1)_X$ (таблица 1), которые представлены в таблице 3. Рассмотрены

неполяризованные и поляризованные начальные пучки. Важно отметить, что рассматриваемые модели Z '— бозона не исследовались экспериментально на LHC и полученные нижние границы значительно превышают ограничения LHC для моделей SSM, LR, E_6 (~ 5 ТэВ). Полученная информация является ключевой для проверки и построений теорий на основе рассматриваемой калибровочной группы.

Литература

- 1 Review of particle physics [Particle Data Group Collaboration] / S. Navas [et al.] // Phys. Rev. D. Vol. 110. \mathbb{N} 3. 2024. 030001.
- 2 The Phenomenology of extra neutral gauge bosons / A. Leike // Phys. Rept. Vol. $317.-1999.-P.\ 143-250.$
- 3 Probing the minimal $U(1)_X$ model at future electron-positron colliders via fermion pair-production channels / A. Das, P. S. Bhupal Dev, Y. Hosotani, S. Mandal // Phys. Rev. D. Vol. 105. N 11. 2022. 115030.
- 4 The International Linear Collider : Report to Snowmass 2021 / A. Aryshev [et al.] // FERMILAB-FN-1171-PPD-OIS-SCD-TD. 2021. P. 41–221.
- 5 Model-Independent Analysis of the Indirect Effects of Additional an Z'-boson at CLIC / D. V. Sinegribov, V. V. Andreev, I. A. Serenkova // Nonlinear Phenomena in Complex Systems. Vol. $28. N_{\odot} 1 2025. P. 68-78.$

УДК 372.853

А. Л. Шелестова

РАЗВИТИЕ ПОЗНАВАТЕЛЬНОГО ИНТЕРЕСА УЧАЩИХСЯ К ФИЗИКЕ В ДЕТСКОМ ОЗДОРОВИТЕЛЬНОМ ЛАГЕРЕ

В статье проведен анализ особенностей развития познавательного интереса учащихся к физике в детских оздоровительных лагерях, а также предложены конкретные рекомендации для педагогических работников, которые помогут стимулировать познавательный интерес и создать мотивацию учащихся к изучению физики в данной приятной и специфической образовательной среде.

Физика является одним из ключевых предметов в образовательной программе, который играет важную роль в формировании научного мышления учащихся. Однако часто возникает проблема недостаточного познавательного интереса учащихся к данной науке, особенно вне школьной среды. Одним из мест, где можно активно развивать познавательный интерес учащихся к физике, является детский оздоровительный лагерь.

Познавательный интерес представляет собой внутреннюю мотивацию учащихся к познанию и исследованию окружающего мира. Он играет важную роль в обучении физике, поскольку способствует активному и глубокому усвоению учебного материала, а также развитию компетенций и навыков учащихся.

Интерес – сильнодействующий мотив, побуждающий человека совершать определенные действия. Именно интерес является положительной оценкой в деятельности субъекта. Л. С. Выготский считал, что интерес является естественным двигателем детского поведения, он выражает его инстинктивные стремления, указывает на то, что деятельность ребенка совпадает с его органическими потребностями, именно поэтому вся воспитательная система должна быть сориентирована, в первую очередь, на детский интерес. Один из основных законов педагогики гласит: прежде чем обучать ребенка какой-